

Ni-Zn 페라이트와 Ni₂Y 페라이트를 혼합한 페라이트/고무 복합형 전파흡수체의 전파흡수특성

(김 한근⁻ · 김 삼룡⁻ · 이 수호⁺ · 조 현철⁺⁺ · 사공건⁺⁺⁺)
(경남전문대학⁻, 영월공업전문대학⁺, 경북전문대학⁺⁺, 동아대학교⁺⁺⁺)

Microwave Absorption Properties of Ferrite/Rubber Composite Microwave Absorber mixed Ni-Zn ferrite and Ni₂Y ferrite

H.G. Kim⁻, S.R. Kim⁻, S.H. Lee⁺, H.C. Cho⁺⁺, G. Sa Gong⁺⁺⁺

Kyung-nam Junior college, Yong-wol Junior college, kyungpook Junior college, Dong-A univ.

Abstract- In this study, the ferrite/rubber composite microwave absorbers mixed Ni-Zn ferrite and Ni₂Y ferrooxplana were prepared in order to control matching condion. The variation of the material constants(ϵ^* , μ^*) and microwave absorbing characteristics were investigated with various ferrite mixing ratio. The material constants of ferrite/rubber composite microwave absorber could be controlled by variation ferrite mixing radio. The matching frequency and thickness could be controlled with various ferrite mixing ratio.

1. 서 론

전자통신 기술의 발달과 전자기기의 다양화로 전자파 환경이 날로 악화되고 있다.¹⁾ 최근에는 각종 전자기기 등에서 발생하는 유해한 전자파가 기기상호간의 동작방해 및 인체에 해를 미치는 등과 같은 전자파 환경에 대한 대책이 절실히 요구되고 있는 실정이다.²⁻³⁾ 또 교량의 철골구조물 등에 의한 선박용 레이다의 허상현상, 각종 산업현장에서의 생산 설비나 은행의 컴퓨터 단말기의 오동작 현상, 교통 수단 및 핵발전소의 제어 장치의 오동작 현상 등과 같이 일반 가정의 소비용품으로부터 산업, 군사, 우주, 항공분야 등에서 각종 전자파 장해(EMI: Electromagnetic Interference)에 대한 대책이 심각한 사회적 문제로 대두되고 있다.⁴⁾ 이러한 전자파 장해를 방지하기 위한 재료로 마이크로파 영역에서 높은 손실을 갖는 페라이트가 주목을 받고 있다.⁵⁾ 페라이트를 사용한 전파흡수체에는 소결형과 복합형으로 분류하는 데, 주로 GHz용으로 복합형이 사용되고 있다.

복합형 전파흡수체의 재료정수와 전파흡수 특성은 페라이트 분말의 입경, 페라이트 분말과 고분자 매질의 혼합비(F/R), 페라이트의 화학조성 등에 의하여 변화한다.⁶⁾ 따라서 본 연구에서는 결정구

조가 다른 異種의 페라이트 즉, Ni-Zn 페라이트와 Ni₂Y 페라이트를 각각 혼합하여 고무와 복합화한 페라이트/고무 복합형 전파흡수체를 제작하여 RADAR 허상방지 및 디지털기기의 유해한 전자파 방지에 용용하기 위하여 C-X 주파수 영역(4~12(GHz))에서 이를 전파흡수체의 전파흡수 특성을 고찰하였다.⁷⁾

2. 전파흡수체의 정합조건

전파흡수체는 반사파가 생기지 않도록 후면에 금속판을 부착하고 그것에서의 반사 영향과 전파흡수체 전면의 반사를 잘 제어하여야 한다.

자유공간의 임피던스를 고려한 규격화 입력임피던스 \bar{Z}_{in} 는 식 (1)과 같다.⁸⁾

$$\bar{Z}_{in} = \sqrt{\mu_r^* / \epsilon_r^*} \tanh(2\pi d / \lambda_0 \sqrt{\mu_r^* \cdot \epsilon_r^*}) \quad \text{--- (1)}$$

여기서 μ_r^* 은 복소비투자율, ϵ_r^* 은 복소비유전율, d 는 전파흡수체의 두께이다.

식 (1)에서 $\bar{Z}_{in} = 1$ 일때가 정합조건이며, 이 정합조건을 만족시키기 위해서는 μ_r^* , $\mu_r^{''}$, ϵ_r^* , $\epsilon_r^{''}$, d/λ_0 등 5가지의 변수를 충분히 고려하여야 한다.

전파흡수체의 반사감쇠량(R.L.: Reflection Loss)은 위의 식(1)의 \bar{Z}_{in} 의 함수를 사용하여 아래식 (2)에 대입하여 계산한다.⁹⁾

$$R.L. [\text{dB}] = 20 \log \left| \frac{\bar{Z}_{in} - 1}{\bar{Z}_{in} + 1} \right| \quad \text{--- (2)}$$

3. 실험 방법

Ni-Zn 페라이트 분말과 Ni₂Y 페라이트 분말의 혼합량에 따른 복합형 페라이트/고무 전파흡수체의

재료정수 변화를 고찰하기 위하여 그림 1에서와 같이 1000[°C]에서 1시간 소결한 Ni-Zn 페라이트 분말과 1100[°C]에서 2시간 소결한 Ni₂Y 페라이트 분말 그리고 실리콘 고무를 혼합하여 F/R=4.0인 외경 7[mm], 내경 3[mm]인 도우넛 형의 복합형 전파흡수체 시편을 제조하였다. 이때 사용한 전체 페라이트의 무게에 대하여 Ni₂Y 페라이트 분말을 100wt%에서 0wt%로 변화시켜가며 전파흡수체 시편을 제조하였다.

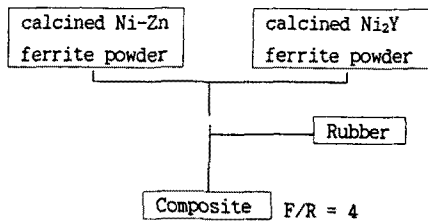
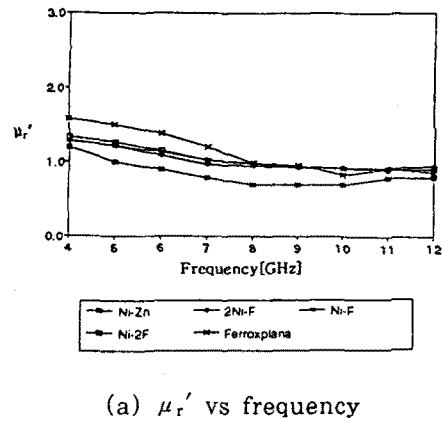


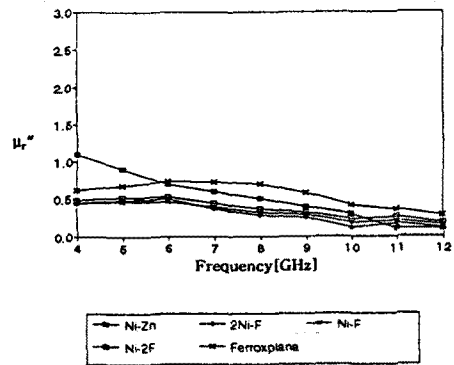
Fig. 1. Flow chart for preparation of Ni-Zn/Ni₂Y composites microwave absorber.

4. 실험결과 및 고찰

그림 2(a) 및 (b)는 Ni-Zn 페라이트와 Ni₂Y 페라이트를 혼합하여 제작한 페라이트/고무 복합형 전파흡수체의 복소비투자율의 변화를 나타낸 것이다. Ni-Zn 페라이트 흡수체의 시편은 주파수가 증가할수록 복소비투자율의 허수항(μ_r'')은 감소하고 있으며, Ni-Zn 페라이트와 Ni₂Y를 혼합한 전파흡수체 시편은 6(GHz)까지는 복소비투자율의 허수항(μ_r'')이 증가하다가 그 이상의 주파수에서 감소하고 있다. Ni₂Y 전파흡수체 시편은 7(GHz)까지는 복소비투자율의 허수항(μ_r'')이 증가하다가 그 이상의 주파수에서 감소하고 있다. Ni-Zn 페라이트와 Ni₂Y를 혼합한 전파흡수체 시편에서는 C-band(4~8GHz) 범위에서는 Ni-Zn 페라이트에 Ni₂Y의 혼합량이 증가할수록 복소비투자율의 실수항(μ_r')은 증가한 반면, X-band(8~12GHz) 범위에서는 Ni₂Y의 혼합량이 증가할수록 감소하였다. 따라서 Ni-Zn 페라이트와 Ni₂Y를 혼합한 전파흡수체 시편의 공명현상은 Ni-Zn 페라이트보다는 높고, Ni₂Y 페라이트보다는 낮은 6(GHz)부근에서 관찰되었다. 이는 높은 주파수대역에서 공명현상이 일어나는 Ni₂Y 페라이트의 혼합으로 공명주파수가 이동된 것으로 생각된다.



(a) μ_r' vs frequency



(b) μ_r'' vs frequency

Fig. 2. Frequency properties of the complex permeability for ferrite/rubber composite absorbers mixed both Ni-Zn ferrite and Ni₂Y ferrit.

그림 3(a) 및 (b)는 Ni-Zn 페라이트와 Ni₂Y를 혼합하여 제작한 페라이트/고무 복합형 전파흡수체의 복소비유전율의 변화를 나타낸 것이다.

모든 전파흡수체 시편의 복소비유전율의 실수항(ϵ_r')은 주파수가 증가에 관계없이 거의 일정한 값을 나타내고 있으며, Ni-Zn 페라이트에 Ni₂Y를 혼합한 양이 증가할수록 측정주파수 범위(4~12[GHz])에서 복소비유전율의 실수항(ϵ_r')은 증가하고 있는 경향을 나타내고 있다. 한편 복소비유전율의 허수항(ϵ_r'')은 혼합비에 관계없이 거의 일정한 값(0.3~0.004)을 나타내었다.

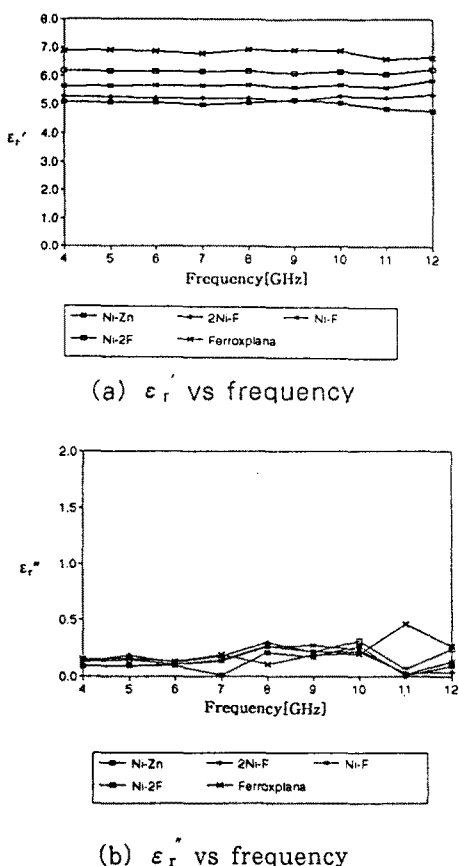


Fig. 3. Frequency properties of the complex permittivity for ferrite/rubber composite absorbers mixed both Ni-Zn ferrite and Ni₂Y ferrit.

그림 4는 Ni-Zn 페라이트와 Ni₂Y 페라이트를 혼합하여 제작한 페라이트/고무 복합형 전파흡수체

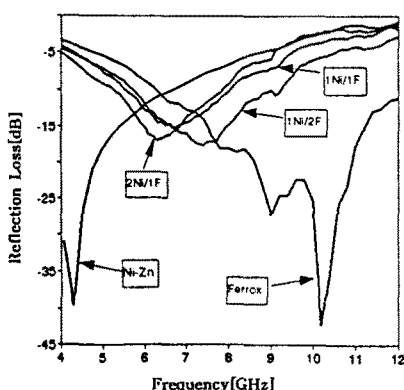


Fig. 4. Reflection loss of ferrite/rubber composite absorbers mixed both Ni-Zn ferrite and Ni₂Y ferrit.

의 반사감쇠량을 나타낸 것으로, 정합주파수가 각각 4.3, 6.3, 6.9, 7.4 및 10.2[GHz]로 규칙적으로 증가되었다. 이는 Ni-Zn 페라이트에 Ni₂Y 페라이트의 혼합량에 따라 정합주파수가 적절하게 제어할 수 있음을 알 수 있었다.

5. 결 론

페라이트/고무 복합형 전파흡수체의 정합조건을 제어하는 방법으로써 결정구조가 다른 이종 페라이트 즉 Ni-Zn 페라이트와 Ni₂Y 페라이트를 혼합하여 제작한 페라이트/고무 복합형 전파흡수체의 재료정수와 전파흡수능을 고찰한 결과는 다음과 같다.

1. 이종의 Ni-Zn 페라이트와 Ni₂Y 페라이트의 혼합량에 따라 복합형 전파흡수체의 재료정수를 적절히 조절할 수 있었다.
2. 페라이트/고무 복합형 전파흡수체의 정합조건(정합주파수, 정합두께)의 제어가 가능함을 알 수 있었다.

[참 고 문 헌]

- [1] 乾哲司, “電波吸收體”, エレクトニク・セラミクス, pp. 18~24, 1985.
- [2] 山下博司, 小野信幸, 橋本康雄, 石野乾, 井上光雄, 秋田慶一, “テレビゴースト防止を目的とした建材用電波吸收壁”, 電子通信學會論文誌, vol. J61-B, No. 8, pp. 729~736, 1978.
- [3] 橋本康雄, 石野健, 栗原弘, “TVゴースト防止用フェライト電波吸收體”, EMCJ88-6, pp. 37~44, 1988.
- [4] 김한근, 신풍호, 사공건, “S-band용 Ferrite/Rubber 복합형 전파흡수체에 있어서 첨가물의 효과”, 대한전기학회논문지, Vol.43, No. 8, pp. 1317~1323, 1994.
- [5] 内藤喜之, “電波吸收體”, オーム社, p.85, 1989.
- [6] 石野建, 橋本康雄, “電波吸收材料”, 機能性複合材料, 森田幹郎編, シ-エムシ-社, pp. 166~174, 1986.
- [7] 橋本康雄, “電磁波吸收材料”, 日本ゴム協会誌, 第57卷, pp. 218~223, 1984.
- [8] 關江雄, “電波吸收體と電波暗室”, シ-エムシ-社, p. 162, 1989.
- [9] Y.Naito and T.Mizumoto, “Effect of Doping Carbon in a Electromagnetic Wave Absorber, Rubber Ferrite”, 電子通信學會論文誌, Vol.J69-C, No.3, pp.257~261, 1986.